

# یک جزء جدید خمشی چهار گرهی در محدوده پوسته‌های نازک با استفاده از نگره رایزنر - میندلین

امیر هوشنگ اخویسی<sup>۱</sup>، محمدتقی احمدی<sup>۲\*</sup>

۱- دانشجوی دکتری سازه، دانشکده فنی و مهندسی، دانشگاه تربیت مدرس

۲- استاد مهندسی عمران، دانشکده فنی و مهندسی، دانشگاه تربیت مدرس

\* تهران، صندوق پستی ۱۴۳-۱۴۱۱۵

mahmadi@modares.ac.ir

(دریافت مقاله: آذر ۱۳۸۳، پذیرش مقاله: شهریور ۱۳۸۴)

**چکیده** - یک جزء خمشی چهار گرهی با ۱۲ درجه آزادی در محدوده پوسته‌های نازک در این مقاله معرفی می‌شود. رابطه‌سازی این جزء براساس نگره رایزنر - میندلین انجام و با استفاده از قیدهای گسسته کیرشهف به صفحه‌های نازک گسترش داده شده است. میدانهای تغییر مکان و دوران به‌دست آمده برای این جزء با اجزای دیگری که تاکنون ارائه شده متفاوت است. این جزء به‌علت استفاده از پیوستگی<sup>۰</sup> C فرمولبندی ساده‌ای دارد. همچنین به‌منظور نمایش کارایی جزء در محدوده صفحه‌ها و پوسته‌های نازک، نمونه‌های عددی ارائه شده با اجزای مختلف مقایسه می‌شود. نتایج نشان می‌دهند که جزء مزبور در محدوده صفحه‌ها و پوسته‌های نازک بسیار خوب عمل کرده و در مقایسه با جزءهای ابداعی موجود، پاسخهای مناسبی را به‌دست می‌دهد.

**کلید واژگان:** رایزنر، میندلین، صفحه خمشی نازک، قیدهای گسسته کیرشهف.

## ۱- مقدمه

تحلیل صفحه‌های خمشی یکی از مهمترین مسائل مورد توجه در روش اجزای محدود است. از دیدگاه رفتاری، صفحه‌های خمشی را می‌توان به دو گروه صفحه‌های نازک و ضخیم تقسیم کرد. به سبب کم بودن نسبت ضخامت به بعد دیگر در صفحه‌های نازک، تغییر شکلهای ناشی از برش در آنها قابل چشم‌پوشی است. نگره حاکم بر صفحه‌های مزبور به‌وسیله کیرشهف<sup>۱</sup> ارائه شده است. در نگره کیرشهف برای معادلات حاکم بر صفحه از مشتقهای مرتبه دوم تابع میدان خیز (در روش تغییر مکان) استفاده می‌کنند. در نتیجه، سازگاری<sup>۱</sup> C برای تابعهای انتخابی مورد نیاز است. این سازگاری ایجاب می‌کند که

مقدار خیز و دورانهای عمود بر مرز میان دو جزء یکسان باشند. شایان توجه است که به‌طور معمول، وارد کردن شرط سازگاری<sup>۱</sup> C باعث سخت‌تر شدن جزء و در نتیجه سبب به‌دست آمدن پاسخهایی با دقت کمتر می‌شود. مهمترین جزء چهارپهلوی ناسازگار ارائه شده در این خصوص، جزء ACM است. این جزء در سال ۱۹۶۳ به‌وسیله کلاف<sup>۲</sup> و آدینی<sup>۳</sup> و در سال ۱۹۶۵ به‌وسیله ملوش<sup>۴</sup> ارائه شد. این جزء به‌وسیله زینکیویچ<sup>۵</sup> و دیو<sup>۶</sup> نیز بررسی شده است [۱]. همچنین باگنر، فاکس و اشمیت در سال ۱۹۶۵ یک جزء خمشی سازگار را ارائه کردند. این

2. Clough  
3. Adini  
4. Melosh  
5. Zienkiewicz  
6. Dawe

1. Kirchhoff

بعضی از حالت‌های آرایشی تکیه‌گاهها ممکن است این حرکت‌های اضافی سبب سخت‌تر شدن جسم و در نتیجه پاسنهای غلط شود.

راه حل دیگری برای کاربرد نگره رایزنر - میندلین در محدوده صفحه‌های نازک، استفاده از تحمیل شرایط کیرشلف به صورت پیوسته یا گسسته است. در این زمینه بته و هو<sup>۲</sup> در سال ۱۹۸۰ جزء مثلثی خمشی ۹ درجه آزادی را براساس کاربرد قیدهای گسسته کیرشلف ارائه کردند. برای این کار ابتدا جزء مثلثی مرتبه ۲ با ۶ گر (سه گر گوشه و سه گر میان پهلویی) و در هر گر سه درجه آزادی، یک تغییر مکان عمود بر صفحه و دو دوران - که به طور مستقل درونیابی می‌شوند - در نظر گرفتند. توابع درونیاب به کار رفته در گرها همان توابع درونیاب لاگرانژی برای المان خمشی مثلثی مرتبه دو است. سپس با صفر فرض کردن کرنشهای برشی در گرهای گوشه و کرنش برشی مماسی در گر میان پهلویی، ۹ معادله برای وابسته ساختن ۹ مجهول گرهای میانی به گرهای گوشه به دست آمده است [۶]. این جزء DKT نامیده و به وسیله بته در سال ۱۹۸۳ برای تحلیل غیرخطی نیز استفاده شد [۷]. با حذف درجه آزادی گرهای میانی برحسب گرهای گوشه، جزء مثلثی سه گرهی با ۹ درجه آزادی نتیجه شد. همچنین در سال ۱۹۸۵ میک<sup>۳</sup> المان مثلثی ۷ گرهی مرتبه دو را انتخاب کرد به طوری که شش گر پیرامونی و یک گر در مرکز المان داشت. گرهای پیرامونی دارای سه درجه آزادی، یک تغییر مکان عمود بر صفحه و دو دوران، و گر مرکزی فقط شامل دو درجه آزادی دورانی بود. سپس با اعمال قیدهای برشی گسسته در شش گر پهلویی و اعمال دو قید برشی پیوسته در مرکز المان، تعداد درجات آزادی المان را از ۲۰ به ۱۲ کاهش دادند. این المان DKL نامیده شده و در صفحه‌های نازک پاسنهای مناسبی را به دست می‌دهد.

جزء که با نام BF مشخص شده در محدوده صفحه‌های نازک، تغییر مکانها را با دقت نسبتاً خوبی به دست می‌دهد. با این حال مقادیر لنگر و برش در تکیه‌گاهها را به خوبی جزء ACM ارائه نمی‌دهد [۲].

از سوی دیگر در صفحه‌های ضخیم و نیمه‌ضخیم، اثر تغییر شکلهای برشی ناچیز نبوده و باید به گونه‌ای به تحلیل وارد شوند. شیوه ساده‌ای برای این کار، به وسیله میندلین و رایزنر ارائه شده است. در این نگره، به سبب استفاده از مشتقات مرتبه اول متغیرهای اصلی میدان، خیز و دوران، فقط به برقراری سازگاری  $C^0$  برای توابع درونیاب نیاز است. به طور معمول، از درونیابهای مستقل برای دوران و خیز استفاده می‌شود. براساس این نگره، رابطه‌سازی حاکم بر جزء به وسیله بته<sup>۱</sup> ارائه شده است [۳]. در این مقاله از جزء مزبور برای مقایسه با پاسنهای به دست آمده از اجزای دیگر، جزء بته نامیده می‌شود. یادآوری می‌شود که اجزای ارائه شده براساس این نگره در محدوده صفحه‌های ضخیم کاربرد داشته و قابل استفاده در صفحه‌های نازک نیست؛ زیرا در این محدوده دورانها و خیز صفحه‌ها از یکدیگر مستقل نیستند. بر این اساس، به دلیل رابطه‌سازی ساده‌تر در نگره میندلین و عدم برقراری سازگاری در نگره کیرشلف، محققان مختلف سعی در گسترش رابطه‌سازی نگره رایزنر - میندلین در محدوده صفحه‌های نازک کرده‌اند. همانگونه که بیان شد، اجزای ارائه شده براساس نگره رایزنر - میندلین در محدوده صفحه‌های ضخیم کاربرد دارند و در حد صفحه‌های نازک سختی برشی زیادی دارند. یکی از روشهای کاهش این سختی، محاسبه ماتریس سختی برشی با تابع اولیه‌گیری از مرتبه پایین‌تر است. این شیوه که با نام تابع اولیه‌گیری کاهش یافته انتخابی شناخته می‌شود، به وسیله زینکوویچ و همکاران [۴] ارائه شده است. هیتن [۵] نشان داد که با کاربرد تعداد کمتری نقاط گوس تعدادی حالت‌های حرکتی اضافی به وجود می‌آید که در

2. Ho  
3. Meek

1. Bathe

میندیلین استوار بوده به منظور قفل نکردن در محدوده صفحه‌های نازک، قیدهای کیرشلف مجزا به کار رفته است. این جزء در ابتدا ۸ گره داشت که توابع درونیاب گره‌های گوشه همان توابع درونیاب المان دوخطه لاگرانژی (مرتب اول) و توابع درونیاب گره‌های میانی همان توابع گره‌های میانی جزء سرندیپیتی هستند. کرتسیک با در نظر گرفتن کرنش برشی مماسی به صورت تابع درجه ۲ کامل و سپس برابر صفر قرار دادن مقدار تابع اولیه کرنش برشی مماسی در طول هر خط معین از صفحه خمشی در نقاط گوس، تغییر مکانهای گره‌های میانی را به گوشه وابسته می‌سازد و همچنین دوران عمود بر هر پهلو را به عنوان دومین قید کیرشلف به مسأله وارد کرد. در انتها با حذف دو دوران و یک تغییر مکان عمود بر صفحه در هر گره میانی، یک جزء ۴ گرهی با ۱۲ درجه آزادی به دست آمده است. پیشنهاددهندگان این جزء، از  $4 \times 4$  نقطه گوس برای تعیین ماتریس سختی جزء سود جستند [۱۴]. در سال ۱۹۸۴ هینتن<sup>۶</sup> [۱۵] انرژی حاکم بر المان ۹ گرهی لاگرانژی با فرض میدان کرنش برشی مستقل و میدان کرنش برشی وابسته به تغییر مکانها و دورانها و اعمال ضرایب لاگرانژی را به دست آورد. سپس با ساکن کردن انرژی، مجهولهای میدان کرنش برشی فرضی را تعیین کرد. با این کار قفل برشی حذف شده و جزء حاصل  $Quad_9$  نامگذاری شد. این جزء، شکل توسعه داده شده جزء  $Quad_9$  است (استفاده از کرنشهای برشی وابسته). شایان توجه است که جزء  $Quad_9$  با کاربرد تابع اولیه گیری کاهش یافته یکنواخت تغییر مکانها را در محدوده پوسته‌های نازک و با ضخامت متوسط به خوبی ارائه می‌کند. با این حال مقادیر لنگر در تکیه‌گاه حول مقدار واقعی آن دارای نوسان است. به بیان دیگر، مقادیر لنگر در بعضی از نقاط کمتر و در بعضی دیگر بیشتر از مقدار واقعی است. این عیب به وسیله [۱۵] برطرف شده و جزء حاصل  $Quad_9$  نام نهاده شده است.

باید توجه داشت که المان مزبور دارای سه درجه آزادی مرسوم در سه گره گوشه و تنها تغییر مکان عمود بر صفحه در سه گره میانی که در مجموع دارای ۱۲ درجه آزادی می‌شود [۸]. پولسن در سال ۱۹۹۶ این جزء را برای تحلیل غیرخطی هندسی به کار برد [۹].

روش دیگری را برای وارد ساختن شرایط کیرشلف، استولارسکی و همکاران [۱۰، ۱۱] در سال ۱۹۸۸ به کار بردند. شیوه مزبور استفاده از حالت ضعیف قیدهای کیرشلف نامگذاری شد. در این شیوه خیزهای کیرشلف دو نقطه A و B در صفحه خمشی، به وسیله تابع اولیه گیری از میدان دوران در طول خط AB به یکدیگر مرتبط می‌شوند. روش دیگری به منظور حذف قفل برشی در صفحه‌های خمشی نازک، استفاده از نرمی خمشی مانده<sup>۱</sup> است. این روش به وسیله مک نیل [۱۲] در جزء  $Quad_4$  به کار رفته است. در ادامه، روش ارائه شده در [۶] به وسیله باتوز<sup>۲</sup> و همکاران برای ارائه جزء خمشی چهار گرهی به کار برده شد [۱۳]. به بیان دیگر باتوز و همکاران با انتخاب المان ۸ گرهی همراه با توابع شکل سرندیپیتی<sup>۳</sup> برای گره‌های آن و برابر صفر قرار دادن کرنشهای برشی در دو جهت عمود بر ضخامت صفحه در گره‌های گوشه و همچنین برابر صفر قرار دادن کرنش برشی مماسی در گره‌های میان پهلویی، ۱۲ معادله را برای وابسته ساختن ۱۲ مجهول در ۴ گره میان پهلویی (در هر گره یک درجه آزادی تغییر مکان عمود بر صفحه و دو درجه آزادی دورانی) به درجه‌های آزادی گره‌های گوشه به دست آوردند. سپس با حذف درجه آزادی گره‌های میان پهلویی، المان به دست آمده دارای ۴ گره و ۱۲ درجه آزادی بود که آن را DKQ نامیدند. در سال ۱۹۹۵ کرتسیک<sup>۴</sup> و زهنگ<sup>۵</sup> جزء  $DKQ_4$  را ارائه کردند. جزء مزبور بر پایه روابط

1. Residual Bending Flexibility
2. Batoz
3. Serendipity
4. Kratzig
5. Zhang

6. Hinton

یک جزء چهارگره‌ی را با استفاده از نگره رایزنر- میندلین - که در محدوده صفحه‌ها و پوسته‌های نازک کاربرد دارد- بر مبنای جزء  $DKQ^4$  ارائه می‌کنند.

## ۲- روابط حاکم بر جزء

جزء چهارگره‌ی برای تحلیل استاتیکی خطی با استفاده از نگره رایزنر - میندلین که فرمولبندی آن به شرح زیر است ارائه می‌شود:

$$\Pi = \frac{1}{2} \int_A \kappa^T C_b \kappa dA + \frac{1}{2} \int_A \gamma^T C_s \gamma dA - \int W P dA \quad (1)$$

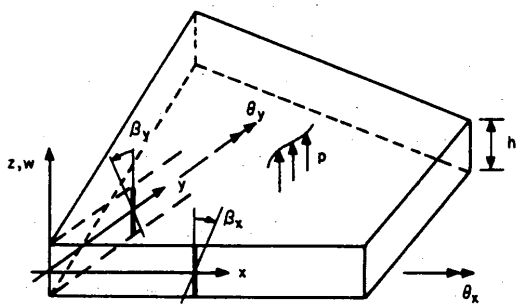
که در آن:

$$\kappa = \left\{ \frac{\partial \beta_x}{\partial x}, -\frac{\partial \beta_y}{\partial y}, \frac{\partial \beta_x}{\partial y} - \frac{\partial \beta_y}{\partial x} \right\}^T \quad (2)$$

$$\gamma = \left\{ \frac{\partial w}{\partial x} + \beta_x, \frac{\partial w}{\partial y} - \beta_y \right\} \quad (3)$$

$$C_b = \frac{Et^3}{12(1-\nu^2)} \begin{bmatrix} 1 & \nu & 0 \\ \nu & 1 & 0 \\ 0 & 0 & 1-\nu \end{bmatrix}; C_s = \frac{Et\kappa}{2(1+\nu)} \begin{bmatrix} 1 & 0 \\ 0 & 1 \end{bmatrix} \quad (4)$$

در شکل ۱،  $\beta_x$ ،  $\beta_y$  دورانه‌های مقطع و  $W$  تغییر مکان عمود بر میان صفحه جزء است.  $P$  بار گسترده واردشونده بر سطح،  $t$  ضخامت و  $A$  مساحت میان صفحه جزء است.  $E$  و  $\nu$  به ترتیب ضریب کشسانی و نسبت پواسون و  $k$  ضریب تصحیح برشی (معمولاً ۵/۶) است.



شکل ۱ علامتهای استفاده شده برای نگره خمشی رایزنر - میندلین

در سال ۱۹۸۵ بته و دورکین<sup>۱</sup> میدان کرنش برشی را به وسیله توابع درونیاب خطی به کرنشهای برشی میان پهلوه‌ها ارتباط دادند؛ این جزء به نام  $Mitc^4$  معروف است و در محدوده صفحه‌های نازک و نیمه ضخیم پاسخهای مناسبی را به دست می‌دهد [۱۶]. در ادامه باتوز در سال ۱۹۸۹ [۱۷] و کاتیلی در سال ۱۹۹۳ [۱۸] میدان کرنش برشی فرضی المان مثلثی را برحسب مشتق دوم دوران مماس بر میان پهلوه‌ها ارائه و سپس به نسبت صلبیت خمشی به صلبیت برشی این کرنش برشی فرضی را اصلاح کردند. سپس مانند [۱۶] با درونیابی خطی، میدان کرنشهای برشی فرضی را به کرنش برشی فرضی گره‌های میان پهلویی ارتباط می‌دهند. جزء به دست آمده از این روش در محدوده صفحه‌های نازک و نیمه ضخیم کاربرد دارد. به همین شیوه کاتیلی در ۱۹۹۳ جزء چهار پهلوی دیگری را به نام  $DSQ\ BL$  ارائه کرد [۱۹]. هر یک از اجزای بحث شده دارای نقاط ضعف و قوتی به شرح زیر است: جزء  $ACM$  در محدوده صفحه‌ها و پوسته‌های نازک پاسخهای مناسبی را به دست می‌دهد. مهمترین مسأله مورد توجه در این جزء، ارائه میدان تغییر مکان است طوری که پیوستگی  $C^1$  را تأمین کند. مقادیر لنگر و برش در نقاط گره‌ی تکیه‌گاهی با جزء  $Quad^9$  با تابع اولیه‌گیری کاهش یافته یکنواخت و جزء  $BF$  دارای نوسان و خطا است. به منظور ارائه جزء با پیوستگی  $C^0$  در محدوده صفحه‌های نازک جزء  $DKQ$  ارائه شد. این جزء فرمولبندی ساده‌تری نسبت به جزء  $ACM$  دارد. با این حال، در شبکه‌بندیهای خشن دقت مناسبی ندارد. جزء  $DKQ^4$  به منظور بهبود خطا در جزء  $DKQ$  ارائه شد. با این حال فرمولبندی آن مشکل و میدان تغییر مکان آن پیچیده است. همچنین جزء معروف  $Mitc^4$  در محدوده پوسته‌های نازک علاوه بر فرمولبندی پیچیده آن دقت مناسبی ندارد. در ادامه نویسندگان به منظور رسیدن به فرمولبندی ساده‌تر و ارائه دقت مناسب

1. Dvorkin

صفحه و دو دوران) جزء نشان داده شده در شکل ۲ دارای ۱۲ درجه آزادی در گره‌های گوشه و ۸ درجه آزادی در گره‌های میان پهلوها است. بنابراین میدان تغییر مکان و دورانها به شرح زیر درونیابی می‌شوند:

$$W = \sum_{i=1}^A N_i w_i$$

$$\beta_x = \sum_{i=1}^F N_i \theta_y^i + \sum_{j=5,7} N_j \theta_y^j \quad (5)$$

$$\beta_y = \sum_{i=1}^F N_i \theta_x^i + \sum_{j=6,8} N_j \theta_x^j$$

در ادامه به منظور دستیابی به فرمولبندی در محدوده صفحه‌های نازک، رابطه (۳) به صورت زیر بازنویسی می‌شود.

$$\begin{Bmatrix} \gamma_{xz} \\ \gamma_{yz} \end{Bmatrix} = [J]^{-1} \begin{Bmatrix} \frac{\partial w}{\partial \xi} \\ \frac{\partial w}{\partial \eta} \end{Bmatrix} + \begin{Bmatrix} \beta_x \\ -\beta_y \end{Bmatrix} \quad (6)$$

در رابطه فوق  $[J]^{-1}$  معکوس ماتریس ژاکوبی است. با ضرب دو طرف رابطه، رابطه بالا در ماتریس ژاکوبی رابطه (۶) به صورت زیر نوشته می‌شود:

$$\begin{Bmatrix} \gamma_2 \\ \gamma_1 \end{Bmatrix} = \begin{Bmatrix} \frac{\partial w}{\partial \xi} \\ \frac{\partial w}{\partial \eta} \end{Bmatrix} + [J] \begin{Bmatrix} \beta_x \\ -\beta_y \end{Bmatrix} \quad (7)$$

در این رابطه  $\gamma_2$  و  $\gamma_1$  کرنشهای برشی در دستگاه مختصات طبیعی است. ماتریس ژاکوبی برای جزء چهارگره‌ای به ابعاد  $2a \times 2b$  چنین است:

$$[J] = \begin{bmatrix} \frac{\partial x}{\partial \xi} & \frac{\partial x}{\partial \eta} \\ \frac{\partial y}{\partial \xi} & \frac{\partial y}{\partial \eta} \end{bmatrix} = \begin{bmatrix} a & 0 \\ 0 & b \end{bmatrix} \quad (8)$$

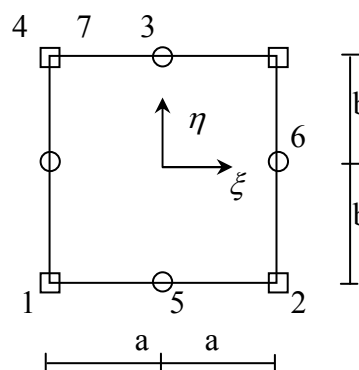
با جاگذاری رابطه (۸) در رابطه (۷)، نتیجه به صورت زیر به دست می‌آید:

$$\gamma_2 = \frac{\partial w}{\partial \xi} + a\beta_x$$

$$\gamma_1 = \frac{\partial w}{\partial \eta} - b\beta_y \quad (9)$$

حال با صفر کردن کرنشهای برشی در دستگاه

همان‌گونه که در قسمت قبل بیان شد، ساده‌ترین راه برای فرمولبندی المان، استفاده از درونیاب مجزا برای دورانها و تغییر مکان است. این نوع فرمولبندی در [۳] به کار رفته است. المان به دست آمده از این فرمولبندی در محدوده صفحه‌های ضخیم کاربرد دارد. در اینجا از این روش برای فرمولبندی جزء در محدوده صفحه‌های نازک استفاده می‌شود. یادآوری می‌شود که در محدوده صفحه‌های نازک انرژی کرنش برشی ناچیز بوده و بنابراین دومین جمله از رابطه (۱) در مقایسه با جملات دیگر حذف می‌شود. در کار حاضر برای رسیدن به فرمولبندی جزء در محدوده صفحه‌های نازک با استفاده از نگره رایزنر - میندلین، ابتدا جزء ۸ گرهی شکل ۲ در نظر گرفته می‌شود.



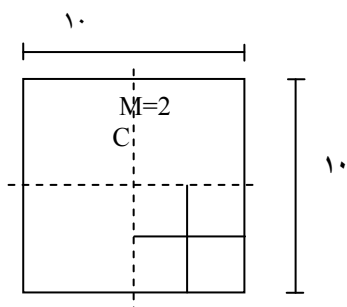
شکل ۲ جزء ۸ گرهی به کار رفته

برای گره‌های گوشه از توابع شکل لاگرانژی دو خطی جزء چهار گرهی و برای گره‌های میان پهلویی از توابع شکل گره‌های میانی جزء سرنندیپیتی در دستگاه مختصات طبیعی استفاده می‌شود. در این جزء برخلاف جزء  $DKQ_4$  برای گره‌های میانی، فقط دو درجه آزادی در نظر گرفته می‌شود. به بیان دیگر، تغییر مکان عمود بر میان صفحه و دوران عمود بر میان پهلو در گره‌های میانی، دو درجه آزادی انتخابی است. درجه‌های آزادی به کار رفته در گره‌های گوشه همان درجه آزادی مرسوم است (تغییر مکان عمود بر میان

رایانه‌ای به زبان فرترن نوشته شد که شامل جزءهای AMQ<sup>4</sup>، MITC<sup>4</sup>، ACM و BF [۴] است. نمونه‌های عددی فراوانی با این اجزا تحلیل شد که در ادامه چند نمونه آورده می‌شود.

### نمونه عددی ۱- صفحه خمشی

صفحه‌ای مربعی به ابعاد ۱۰×۱۰ با شرایط تکیه‌گاهی ساده، ضریب کشسانی E=۱۰/۹۲، نسبت پواسون ν=۰/۳ و ضخامت ۰/۰۱ در دو حالت بارگذاری تحلیل می‌شود و شکل ۳. ابتدا بار گسترده با شدت q=1/25 عمود بر سطح صفحه وارد می‌شود. سپس این صفحه زیر اثر بار متمرکز P=۱ در مرکز صفحه قرار می‌گیرد.



شکل ۳ صفحه خمشی با تکیه‌گاههای ساده

در حالت بارگذاری گسترده یکنواخت تمام صفحه با استفاده از المان AMQ<sup>4</sup> برای شبکه‌بندیهای مختلف (M\*M)، تعداد المان در هر جهت، تحلیل شده و نتایج در جدول ۱ با تغییر مکان دقیق به‌دست آمده در مرکز صفحه از تئوری صفحات و پوسته‌ها، W<sub>max</sub>=۱۶۲۴۰۰۰، مقایسه شد. واضح است که همگرایی المان با ریزشیدن شبکه به پاسخ دقیق برای بارگذاری گسترده بسیار مناسب است.

مختصات طبیعی (γ<sub>۱</sub>، γ<sub>۲</sub>) در چهار نقطه گوس (۲×۲) نقطه انتگرالگیری)، ۸ رابطه برای تعیین ۸ درجه آزادی اضافی میان پهلوها برحسب درجه‌های آزادی گره‌های گوشه به‌دست می‌آیند. با حل این دستگاه ۸ معادله و ۸ مجهول، درجه‌های آزادی میان پهلوها به‌شرح زیر نتیجه می‌شوند:

$$w_\delta = \frac{a}{f}(\theta_y^r - \theta_y^l) \quad (10)$$

$$w_\epsilon = \frac{b}{f}(\theta_x^r - \theta_x^l)$$

$$w_\nu = -\frac{a}{f}(\theta_y^r - \theta_y^l)$$

$$w_\lambda = -\frac{b}{f}(\theta_x^r - \theta_x^l)$$

$$\theta_y^\delta = \frac{r}{f}(\theta_y^r + \theta_y^l) + \frac{r}{fa}(w_\nu - w_\lambda) - \frac{b}{\lambda a}(\theta_x^l - \theta_x^r + \theta_x^r - \theta_x^l)$$

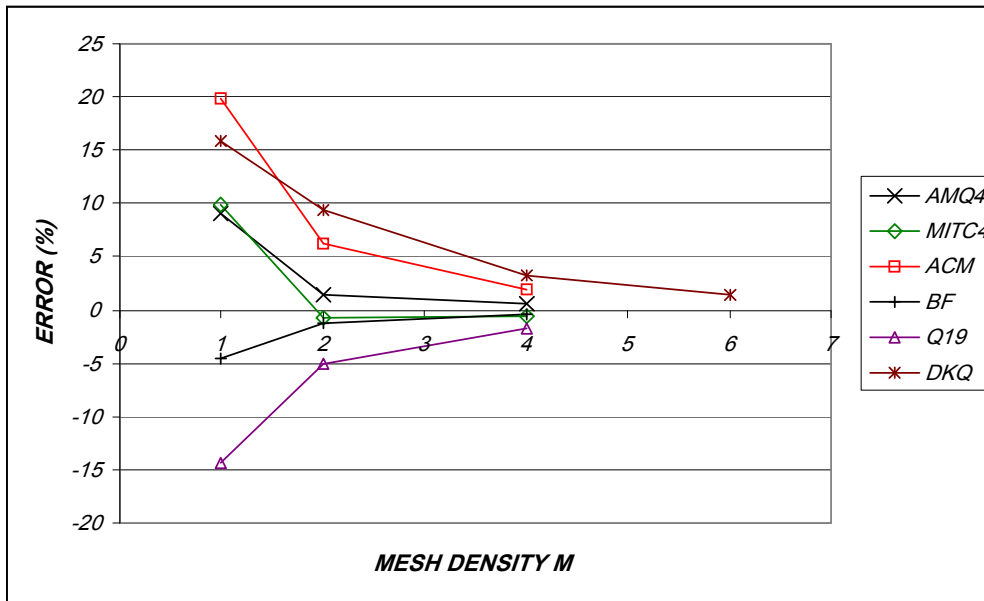
$$\theta_y^\epsilon = \frac{r}{f}(\theta_y^r + \theta_y^l) + \frac{r}{fa}(w_\nu - w_\epsilon) - \frac{b}{\lambda a}(\theta_x^l - \theta_x^r + \theta_x^r - \theta_x^l)$$

$$\theta_x^\delta = \frac{r}{f}(\theta_x^r + \theta_x^l) - \frac{r}{fb}(w_\nu - w_\lambda) - \frac{a}{\lambda b}(\theta_y^l - \theta_y^r + \theta_y^r - \theta_y^l)$$

$$\theta_x^\epsilon = \frac{r}{f}(\theta_x^r + \theta_x^l) - \frac{r}{fb}(w_\nu - w_\lambda) - \frac{a}{\lambda b}(\theta_y^l - \theta_y^r + \theta_y^r - \theta_y^l)$$

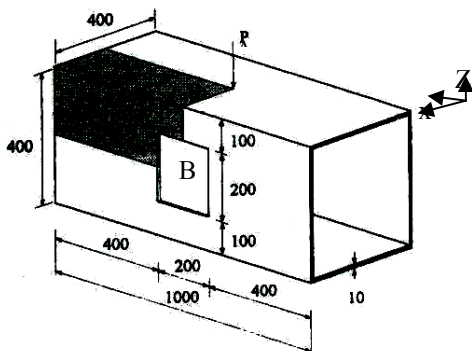
ممکن است این جزء با جزء DKQ<sup>4</sup> به‌طور اشتباه یکسان فرض شود. باید توجه داشت که دورانهای به‌دست آمده در جزء حاضر با جزء DKQ<sup>4</sup> کاملاً متفاوت است. به‌عنوان نمونه علامت جمله دوم θ<sub>y</sub><sup>δ</sup> در کار حاضر منفی و جمله سوم نیز نسبت به جزء DKQ<sup>4</sup> اضافه شده است. در ادامه با جاگذاری رابطه (۱۰) در رابطه (۵)، میدان تغییر مکان و دوران به‌صورت مجزا درونیایی می‌شود. سپس با ساکن کردن رابطه (۱) و جاگذاری میدانهای مجزای به‌دست آمده، ماتریس سختی جزء به‌دست می‌آید. ماتریس کرنش تغییر مکان مورد نیاز برای تعیین ماتریس سختی در پوست آورده شده است.

جزء پیشنهاد شده را AMQ<sup>4</sup> نامگذاری می‌کنیم، قابل توجه است که این جزء به آزمایش وصله نیز پاسخ می‌دهد. به‌منظور مقایسه با اجزای دیگر، برنامه



شکل ۴ درصد خطای تغییر مکان مرکز صفحه مربعی زیر بار متمرکز

مقطع عرضی این جعبه مربعی است و دو بار متمرکز P به اندازه ۲ton در میانه سازه به صورت متقارن تأثیر می‌کند. مسأله دارای تقارن نسبت به سه صفحه YZ, XZ, XY است. تکیه‌گاههای سازه در دو طرف نسبت به تغییر مکانهای عمودی و جانبی مقید شده است. ضخامت سازه برابر ۱۰cm، ضریب کشسانی آن  $E = 2/1 \times 10^6 \frac{kg}{Cm^2}$  و نسبت پواسون  $\nu = 0/48$  است.



شکل ۵ جعبه توخالی با سوراخ مربعی

جدول ۱ تغییر مکان بیشینه در مرکز صفحه

۶×۶	۴×۴	۲×۲	۱×۱	M*M
۱۶۱۴۱۵۰	۱۵۹۷۰۹۰	۱۵۰۹۱۵۰	۱۲۶۴۲۶۰	AMQ۴
۰/۶۰۶	۱/۶۶	۷/۰۷	۲۲/۱۵	درصد خطا

سپس این صفحه زیر اثر بار متمرکز در وسط، برای شبکه‌بندیهای مختلف تحلیل شد. نتایج به دست آمده در شکل ۴ رسم شده است. با توجه به شکل ۴ جزء AMQ۴ نسبت به اجزای دیگر به ویژه جزء DKQ, ACM, Q19 [۲۰] و BF [۴] پاسخهای مناسبی را به دست می‌دهد.

### نمونه عددی ۲ - تیر جعبه‌ای

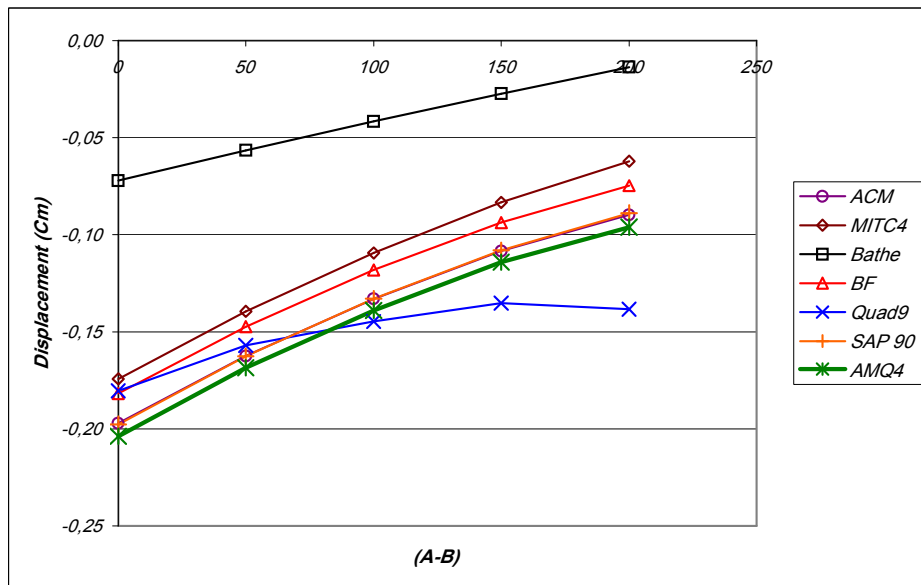
در اینجا جعبه‌ای توخالی به طول ۱۰۰۰ سانتیمتر - که سوراخ مربعی در دو طرف آن وجود دارد- در نظر گرفته می‌شود. همان‌گونه که در شکل ۵ دیده می‌شود،

جدول ۲ بیشینه تغییر مکان قائم جعبه توخالی

Sap90	Quad9	AMQ4	BF	Bathe	MITC4	ACM	[۲۱]	مرجع
۶۰	۱۵	۶۰	۶۰	۶۰	۶۰	۶۰	۷۶	تعداد اجزای به کار رفته در تحلیل
۷۷	۷۷	۷۷	۷۷	۷۷	۷۷	۷۷	۹۵	تعداد گره‌ها
-۰/۱۹۱۱۳	-۰/۱۸۰۴۵	-۰/۲۰۳۸۱۷	-۰/۱۸۱۸	-۰/۰۷۲۱۴	-۰/۱۷۴۲۶	-۰/۱۹۷۱۹	-۰/۲۲۹۲۲	W <sub>A</sub> (Cm)

توجه به نتایج به دست آمده واضح است که جزء AMQ4 نتایج بسیار خوبی را ارائه داده است. همچنین جزء Quad9 همان جزء ۹ گرهی لاگرانژی است که به وسیله اجزای خمیده فرمولبندی شده است [۱۵]. شایان توجه است که پاسخ به دست آمده از جزء بته نشان می‌دهد که این جزء در محدوده صفحه‌ها و پوسته‌های ضخیم کاربرد دارد و استفاده از آن در محدوده صفحه‌های نازک سبب قفل برشی می‌شود.

به دلیل تقارنی که مسئله در سه جهت دارد،  $\frac{1}{8}$  مسئله برای تحلیل انتخاب می‌شود.  $\frac{1}{8}$  از این سازه در [۲۱] با ۹۵ گره تحلیل شده است. در اینجا نویسندگان از ۷۷ گره برای تحلیل استفاده کرده‌اند. تغییر مکان به دست آمده در زیر نقطه اثر بار در جدول ۲ و تغییر مکان در امتداد AB (نصف عرض مقطع در جهت Y) در شکل ۶ رسم شده است. با



شکل ۶ تغییر مکان امتداد خط A به B بر حسب سانتیمتر

صفحه‌های خمشی به کار برد. تغییر مکان به دست آمده در طول خط AB با استفاده از المان Quad9 با سایر المانها متفاوت است. این مسئله ممکن است ناشی از استفاده از تابع اولیه‌گیری کاهش یافته یکنواخت برای المان Quad9 باشد. شایان توجه است که با کاربرد تابع اولیه‌گیری کاهش یافته یکنواخت، حالت‌های اضافی حرکتی

از تحلیلهای فوق واضح است که جز MITC4 - که میدان کرنش برشی را به وسیله توابع درونیاب خطی به کرنشهای برشی میان پهلوها با یک فرمولبندی پیچیده ارتباط می‌دهد- در مقایسه با جز ACM به دست آمده براساس نگره کیرشهف، با قبول  $11/63$  درصد خطا در نمونه عددی ۲، می‌توان در تحلیل پوسته‌ها و



ساده ارائه می‌شود. با توجه به نمونه‌های عددی مختلف تحلیل شده براساس جزء AMQ<sup>۴</sup>، نتایج نشان می‌دهند که این جزء در محدوده صفحه‌ها و پوسته‌های نازک دچار قفل‌شدگی نشده و مقادیر لنگر، برش و تغییر مکان را با دقت بسیار زیادی ارائه می‌دهد. از سوی دیگر، این جزء در مقایسه با جز چهار گرهی معروف Mitc<sup>۴</sup> و جزء ۹ گرهی لاگرانژی Quad<sup>۹</sup> در محدوده پوسته‌های نازک بهتر عمل کرده و پاسخهای بسیار خوبی را ارائه می‌دهد. همچنین به وسیله جزء AMQ<sup>۴</sup> با شبکه‌بندی درشت به نسبت جزء DKQ می‌توان پاسخهای مناسبی را به دست آورد.

به وجود می‌آید که در بعضی از شرایط تکیه‌گاهی سبب ارائه پاسخ نامناسب می‌شوند [۵]. باید توجه داشت که جزء AMQ<sup>۴</sup> نسبت به اجزای دیگر پاسخ بهتری را در مقایسه با [۲۱] ارائه کرده است.

### ۳- نتیجه گیری

جزء AMQ<sup>۴</sup> که براساس نگره راینزر - میندلین و با استفاده از قیدهای برشی گسسته به دست آمده، با اجزای دیگر متفاوت بوده و نتایج مناسبی را در محدوده صفحه‌ها و پوسته‌های نازک ارائه می‌کند. فرمولبندی این جزء براساس توابع شکل لاگرانژی و پیوستگی C<sup>0</sup> به صورت

### ۴- پیوست

با توجه به رابطه (۱) و پس از ساکن کردن آن، ماتریس سختی خمشی جزء به صورت زیر به دست می‌آید:

$$k = \int B^T C_b B dV$$

$$[B] = \begin{bmatrix} b1 & b2 & b3 & -b1 & -b2 & b4 & b5 & b2 & -b4 & -b5 & -b2 & b6 \\ b7 & b8 & b9 & b10 & b11 & -b9 & -b10 & b11 & b9 & -b7 & b12 & -b9 \\ b13 & b14 & b15 & -b13 & -b14 & b16 & b13 & b17 & b18 & -b13 & -b17 & -b15 \end{bmatrix}$$

$$b1 = 0.75\xi(\eta-1)/a^2$$

$$b2 = -0.25b\xi/a^2$$

$$b3 = -(0.75\xi - 0.25)(\eta-1)/a$$

$$b4 = -(0.75\xi + 0.25)(\eta-1)/a$$

$$b5 = 0.75\xi(\eta+1)/a^2$$

$$b6 = (0.75\xi - 0.25)(\eta+1)/a$$

$$b7 = 0.75\eta(\xi-1)/b^2$$

$$b8 = (\xi-1)(0.75\eta-0.25)/b$$

$$b9 = 0.25a\eta/b^2$$

$$b10 = -0.75\eta(\xi+1)/b^2$$

$$b11 = -(\xi+1)(0.75\eta-0.25)/b$$

$$b12 = (\xi-1)(0.75\eta+0.25)/b$$

$$b13 = 0.375(\xi^2 + \eta^2 - 2)/ab$$

$$b14 = (0.375\eta^2 - 0.25\eta - 0.125)/a$$

$$b15 = -(0.375\xi^2 - 0.25\xi - 0.125)/b$$

$$b16 = -(0.375\xi^2 + 0.25\xi - 0.125)/b$$

$$b17 = -(0.375\eta^2 + 0.25\eta - 0.125)/a$$

$$b18 = (0.375\xi^2 + 0.25\xi - 0.125)/b$$

## ۵- منابع

- Kirchhoff Constraints"; Int. J. Numer. Meth. Eng.; Vol28 ; pp. 2323-2338; 1989.
- [12] Mac Neal, Richard H.; "A Simple Quadrilateral Shell Element"; Computers & Structures; Vol8 ; PP. 175-183; 1978.
- [13] Batoz, Jean-Louis; Tahar, Mabrouk-Ben; "Evaluation of a New Quadrilateral Thin Plate Bending Elements"; Int.J. Numer. Meth. Eng.; Vol18 ; pp. 1655-1677; 1982.
- [14] Kratzig, Zhang; "A Simple Four Node Quadrilateral Finite Elements for Plates"; Finite Elements and Des.; pp. 19, 195-207, 1995.
- [15] Huang, H.C.; Hinton, E.; "A Nine Node Langrangian Mindlin Plate Element with Enhanced Shear Interpolation"; Eng. Comput.; Vol1 ; December 1984.
- [16] Bathe, Klaus-Jurgen; Dvorkin; Eduardon; "Short Communication: a Four Node Plate Bending Element Based on Mindlin/Reissner Plate Theory and a Mixed Interpolation"; Int. J. Numer Meth. Eng.; Vol 21; pp. 367-383, 1985.
- [17] Batoz, J.L; Lardeur, Nad; "A Discrete Shear Triangular Nine D.O.F. Element for the Analysis of Thick to Very Thin Plates"; Int. J. Numer. Meth. Eng.; Vol 28; pp. 533-560; 1989.
- [18] Katili, Irwan; "A New Discrete Kirchhoff-Mindlin Elements Based on Mindlin- Reissner Plate Theory and Assumed Shear Strain Fields- Part I: An Extended DKT Element for Thick- Plate Bending Analysis"; Int. J. Numer. Meth. Eng.; Vol 36; pp.1859-1883; 1993.
- [19] Katili, Irwan; "A New Discrete Kirchhoff-Mindlin Elements Based on Mindlin- Reissner Plate Theory and Assumed Shear Strain Fields- Part II: An Extended DKQ Element for Thick- Plate Bending Analysis"; Int. J. Numer. Meth. Eng; Vol 36; pp. 1885-1908; 1993.
- [20] Clough, R.W.; Felippa, C.A.; "A Refined Quadrilateral Element for Analysis of Plate Bending"; In L. Berke, R. M. Bader, W. J. Mykytow; J. S. Przemienicki; M.H. Shirk (eds); Proc. 2nd Conf. Matrix Methods in Structural Mechanics; Volume
- [1] Dawe, D. J; *Matrix and Finite Element Displacement Analysis Of Structures*; Oxford University Press, NewYork; 1984.
- [2] Bogner,F.K.; Fox,R.L.; Schmit ,L.A.; "The Generation of Interelement – Compatible Stiffness and Mass matrices by the Use of Interpolation Formulae"; Proc. Conf. Mat. Meth. Struc. Mech.; AFIT, Wright – Patterson Base, Ohio; 1965; pp. 397-443.
- [3] Bathe Klaus-Jurgen; *Finite Element Procedures In Engineering Analysis*; Prentice-Hall, 1982.
- [4] Zienkiewicz, O.C; *The Finite Element Method*, Mc Graw- Hill Book Company, 1977.
- [5] Hinton E. Huang; H. C.; "A Family Of Quadrilateral Mindlin Plate Elements with Substitute Shear Strain Fields"; Comput. Struct. 23; pp. 409-431; 1986.
- [6] Batoz; Jean-Louis; "A Study of Three-Node Triangular Plate Bending Elements"; Int. J. Numer. Eng.; Vol 15; pp. 1771-1812; 1980.
- [7] Bathe, Klaus-Jurgen; Eduardo Dvorkin; Lee W.HO.; "Our Discrete-Kirchhoff and Isoparametric Shell Elements for Nonlinear Analysis An Assessment"; Computers & Structures, Vol16, No 1; pp. 89-98, 1983.
- [8] Meek, J. L.; Tan, H.S.; "A Discrete Kirchhoff Plate Bending Element with Loof Nodes"; Computers & Structures; Vol21, No 6, pp. 1197-1212, 1985.
- [9] Poulsen, Peter Noe; "A Flat Triangular Shell element with Loof Nodes"; Int. J. Numer. Meth. Eng.; Vol 39; pp. 3867-3887, 1996.
- [10] Stolarski, Henryk K.; Chiang, Martin. Y. M.; "Thin Plate Elements with Relaxed Kirchhoff Constraints"; Int. J. Numer. Meth. Eng.; Vol26 ; pp. 913-933, 1988.
- [11] Stolarski, H.K.; Chiang, M.Y.; "Assumed Strain Formulation For triangular C0 Plate Elements Based on a Weak Form of the

Element"; J. Of Eng. Mechanics; pp. 432-441; May 1996.

AFFDL-TR-68-150; pp. 399-440; Air Force Flight Dynamics Laboratory, Wright Patterson Air Force Boue, OH; October 1968.

[21] Choi, Chang-Koon; Lee; Wan Hoon; "Versatile Variable Node Flat Shell